

Vývoj jaderné energetiky a havárie v japonské elektrárni Fukušima I

Existuje mnoho studií očekávaného vývoje počtu obyvatel Země, ekonomického růstu a s tím související spotřeby energie ve světě. V souhrnu se dá konstatovat, že pokud nenašanou zásadní změny v oblasti energetiky, dojde do roku 2050 (oproti roku 2007) k následujícím změnám, viz tab. 1.

Důsledkem nárůstu poptávky bude napjatá situace v dodávkách ropy a posléze zemního plynu, dojde tedy k příklonu ke zbývajícím primárním zdrojům energie – uhlí, obnovitelným zdrojům energie (OZE) a jaderné energetice. Celosvětová politika se snaží zabránit klimatickým změnám snížením emisí CO_2 na úroveň 13,5 Gt $\text{CO}_{2\text{ekv}}$ do roku 2050. Organizace pro hospodářskou spolupráci a rozvoj (OECD) proto průběžně analyzuje scénáře nasazení nových technologií tak, aby došlo ke snížení znečištění ovzduší skleníkovými plyny oproti roku 2007 o 50 %. Tohoto cíle lze pravděpodobně dosáhnout zejména snížením znečištění ovzduší oxidem uhličitým (CO_2) ve všech oblastech energetiky. Znamená to posun k jaderné energetice, k zachycení a oddelenému uložení nebo využití oxidu uhličitého (CCS) a k obnovitelným zdrojům (OZE), zejména ve výrobě elektřiny. Přímé nasazení málo znečišťujících

technologií v ostatních oblastech konečné spotřeby je obtížné, a proto jej musí doprovázet postupné nahrazování konečné spotřeby v těchto oblastech elektřinou nebo bezuhlíkovým nosičem energie, jako je např. vodík. Jako doplněk sem patří také ověřování účinných a dostupných řešení, zejména vzhledem k jejich využití v rozvojových zemích a v regionech velkých zemí s velkým a rostoucím užitím energie (Brazílie, Rusko, Indie, Čína).

Japonsko patří se svými 54 reaktory a firmami TOSHIBA nebo HITACHI jednak k zemím, které významně využívají jadernou energetiku, jednak představuje zemi s pokročilou technologií, uplatnitelnou i v eventuální „jaderné renesanci“. Z předchozích úvah je zcela zřejmé, že všechny potenciální scénáře rozvoje světové energetiky do roku 2050 dle OECD s jadernou energetikou zcela určitě počítaly, ať už v menší, větší nebo velké míře.



▲ Obr. 1. Jaderná elektrárna Fukušima I

Havárie v japonské elektrárni Fukušima I

Současná havárie v elektrárně Fukušima I vyvolala novou vlnu odporu proti jaderné energetice a zcela určitě vyvolá další dlouhou diskusi o budoucnosti světové energetiky obecně. Pokusím se shrnout dostupné údaje o průběhu havárie v elektrárně Fukušima I – včetně údajů z tisku i z těch, které se běžně neobjevují a jsou známy jen v odborných kruzích.

Jaderná elektrárna Fukušima I

Japonsko bylo postiženo zemětřesením blížícím se stupni 9 Richterovy stupnice (celý Japon-

ský ostrov Honšú se posunul o 2,5 m), s epicentrem blízko jaderné elektrárny Fukušima. Jaderná elektrárna (pro pořádek uvádí, že jedna z nejstarších v Japonsku) zemětřesení přestála bez podstatných škod. Reaktory byly po zemětřesení bezpečně odstaveny zasunutím havarijních tyčí do aktivní zóny reaktoru. Došlo však k úplnému výpadku proudu – blackout postihl téměř polovinu Japonska. Začaly pracovat záložní dieselagregáty, které zásobují proudem chladicí zařízení reaktorů, které byly odstaveny (došlo k zasunutí havarijních tyčí).

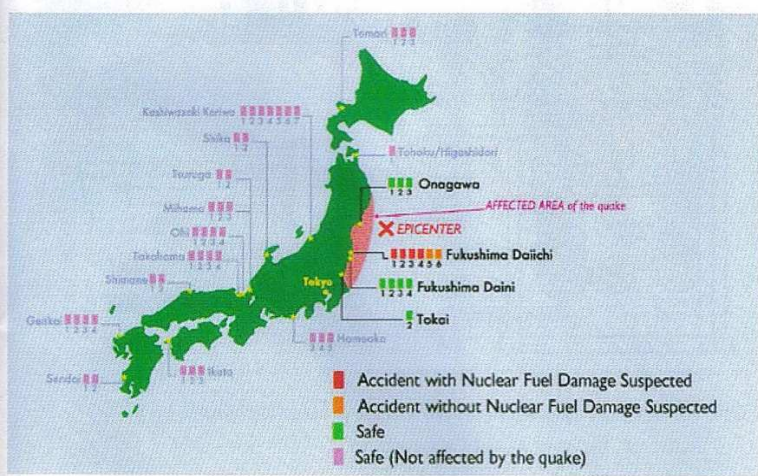
Následovala tsunami (snad výšky 10,5 m – tedy údajně tisíciletá). Ochranná hráz byla vysoká jen 6,5 m (odolná stoleté tsunami). Ta odnesla tanky s palivem pro

▼ Tab. 1. Předpověď vývoje energetického sektoru ve světě

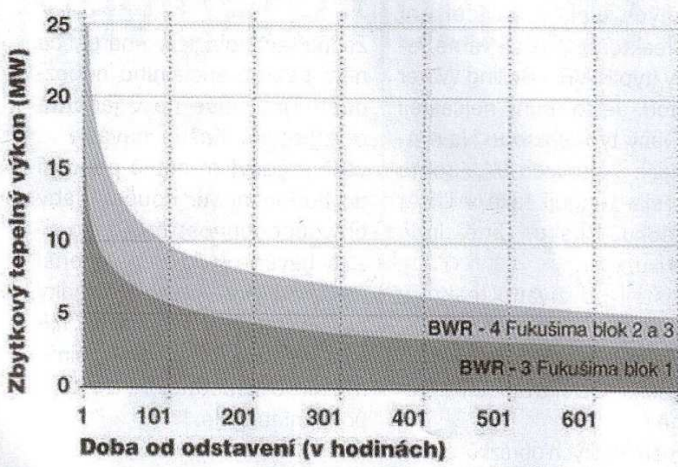
| VÝVOJ JADERNÉ ENERGETIKY VE SVĚTĚ | | 1971 | 2007 | 2030 | 2050 |
|---|------------------------------|---------|------------------|---------|-------------------|
| Obyvatelstvo | | 3700 | 6609 | 8309 | 9150 |
| Hrubý domácí produkt (HDP) | GUSD ₂₀₀₀ | | 40 482 | 81 775 | 136 638 |
| HDP v rovnosti kupní síly | GUSD ₂₀₀₀ | | 63 866 | 129 012 | 215 565 |
| Spotřeba primárních energetických zdrojů | PJ | 229 910 | 503 253 | 696 696 | 924 432 |
| Celková konečná spotřeba energie | PJ | | 346 918 | | |
| Spotřeba elektřiny | PJ TWh | | 61 196 16 999 | | 153 603 42 667 |
| Spotřeba elektřiny – podle scénáře Mezinárodní energetické agentury (Blue Map IEA) | PJ TWh | | 61 196 16 999 | | 133 013 36 948 |
| Emise skleníkových plynů | Gt CO _{2\text{ekv}} | | 27 | 40 | 57 |
| Emise skleníkových plynů podle scénáře Mezinárodní energetické agentury (Blue Map IEA) | Gt CO _{2\text{ekv}} | | 27 | 40 | 13,5 |



▲ Obr. 2. Schematická mapa Japonska s vyznačením epicentra zemětřesení blízko jaderné elektrárny Fukušima



▲ Obr. 3. Mapa s rozmištěním jaderných elektráren v Japonsku



▲ Obr. 4. Zbytkový tepelný výkon reaktorů po odstavení

▼ Obr. 5. Následky výbuchů vodíku s porušením hermetičnosti obálky u bloku 3



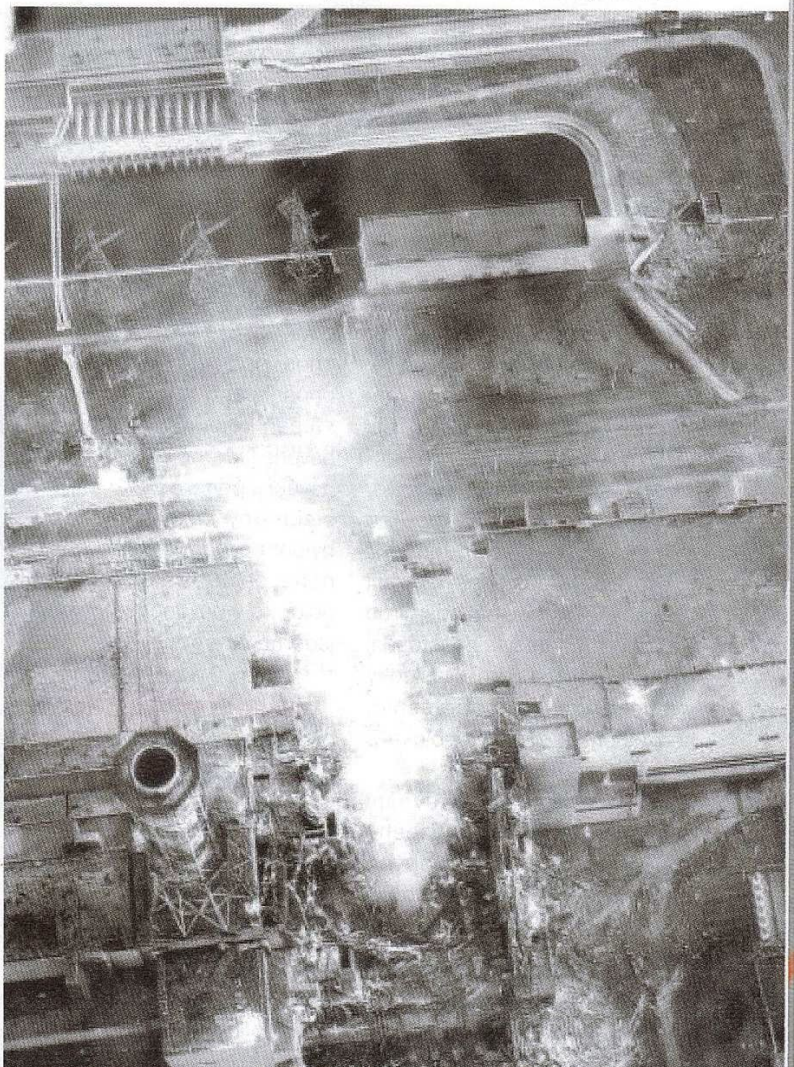
▲ Obr. 6. Následky výbuchů vodíku s porušením hermetičnosti obálky u bloku 3

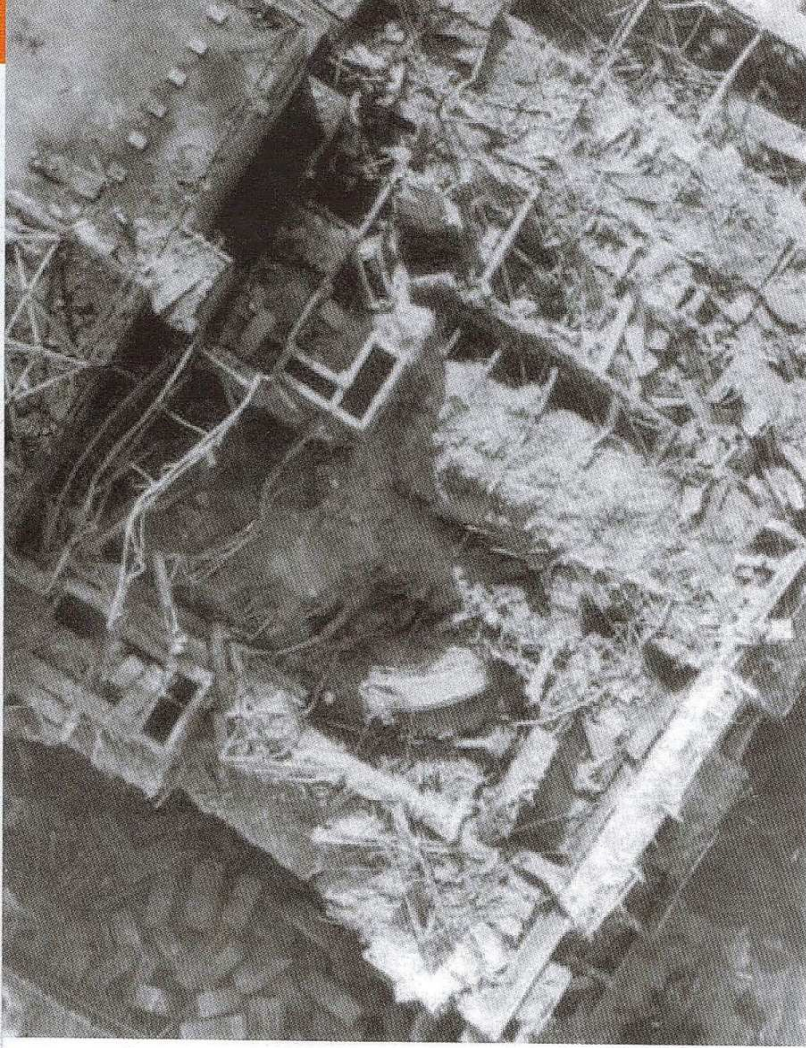
dieselagregáty, které přestaly pracovat. Zahynulo a bylo nezvěstných cca 25 000 Japonců. K dispozici zůstalo časově omezené vnitřní chlazení (barbotážní nádrže), které fungovalo ještě dalších 6 hodin. Na obrázku 4 je znázorněn zbytkový tepelný výkon reaktorů po odstavení. Je zřejmé, že funkční chlazení vyřešilo pouze špičku zbytkového tepelného výkonu, ale nikoliv dochlazení reaktorů.

Pro eventuální porovnání s černobylským reaktorem lze uvést, že pravděpodobný tepelný výkon tohoto reaktoru v okamžiku tzv. rychlé chemické reakce (havárie

bez spuštění havarijních týčí) dosáhl špičky více než 10 000 MW (řádově spíše více). Už z tohoto údaje je zřejmé, že obě havárie nelze jednoduše porovnávat. Pracovníkům firmy TEPCO se dařilo náhradním způsobem chladit reaktory, k čemuž do konce používali mořskou vodou (běžně se chladí odsolenou vodou, ale odsolovací zařízení přestalo fungovat jako první), pravděpodobně však zapomněli na chlazení vyhořelého paliva u reaktoru. To je skladováno vně ochranné obálky (pozn. autora: reaktory VVER 1000 v Temelíně jsou jedny z mála, které mají

▼ Obr. 7. Následky výbuchů vodíku s porušením hermetičnosti obálky u bloku 3





▲ Obr. 8. Pro srovnání – snímek havarovaného reaktoru RBMK v Černobylu

bazén s vyhořelým palivem umístěný přímo v kontejnmentu, tedy v ochranné obálce). První výbuch vodíku nastal u reaktoru č. 1. Mnohem významnější však byl výbuch u reaktoru č. 3, který pracuje s palivem MOX (směs izotopů plutonia a uranu, ze kterých eventuální úniky radioaktivnosti tvoří významné izotopy s dlouhou dobou rozpadu ve srovnání s radioizotopy pouze s uranovým paliva). Pravděpodobně nefungovaly rekombinátory vodíku zabraňující vodíkovým výbuchům. Důvodem mohla být absence dodávky elektrického proudu, kterou se podařilo obnovit až po téměř 7 dnech, ačkoliv dostupné napojení bylo pouhé 2 km. Opět nesmíme zapomínat na děsivé zpustošení pobřeží vlnou tsunami. Následky výbuchů vodíku s porušením hermetičnosti obálky u bloku 3 jsou vidět na obrázcích.

Na snímku 8 je pro srovnání uveden snímek havarovaného reaktoru RBMK v Černobylu. Tento reaktor neměl ani tlakovou

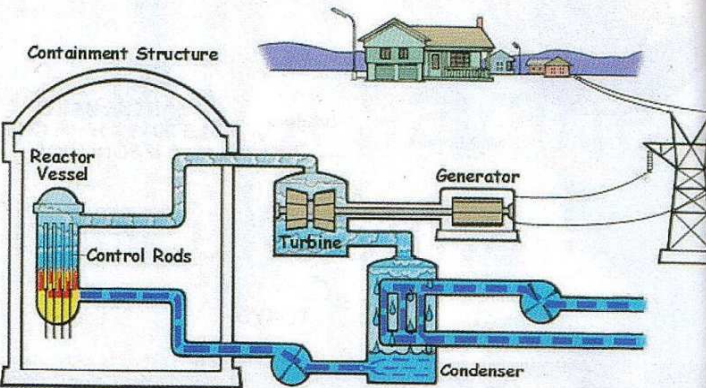
nádobu reaktoru, ani ochranný kontejnment.

Navíc byly palivové články uloženy v grafitových kanálech, které umocnily výbuch při extrémním nárůstu teploty.

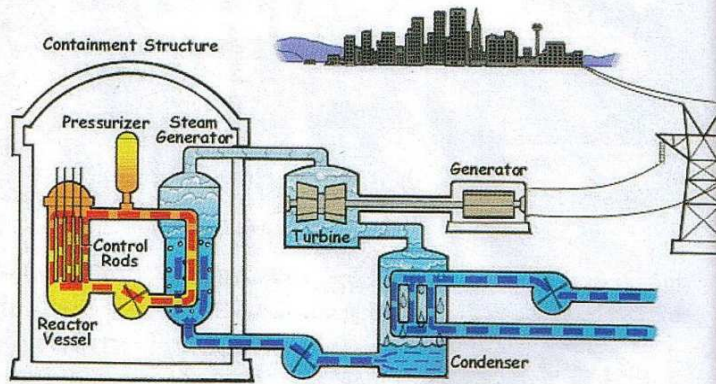
Z výše uvedeného je zřejmé, že katastrofa v jaderné elektrárně Fukušima I je v porovnání s Černobylem nesrovnatelně menší, přesto je hodnocení významnosti havárie na reaktorech 1 a 2 ohodnoceno „5“ a na reaktoru 3 ohodnoceno „7“, což je nejvyšší stupeň hodnocení významnosti havárie jaderné elektrárny. Srovnání japonské havárie jaderné elektrárny Fukušima s Černobylem neznamená podceňování nebezpečí. Je konstatován pokrok v bezpečnosti v oblasti jaderné energetiky.

Nejpoužívanější současné jaderné reaktory

Na světě je cca 480 funkčních reaktorů. V jaderné elektrárně



▲ Obr. 9. Varné reaktory (typ BWR – Boiling Water Reactor), provozní schéma



▲ Obr. 10. Reaktory tlakovodní (PWR, VVER), provozní schéma

Fukušima, stejně jako v deseti dalších ze sedmnácti japonských jaderných elektráren (celkem s 54 reaktory), pracují varné reaktory (typ BWR – Boiling Water Reactor). Je to druhý nejčastěji používaný typ reaktoru. Na světě je jich v provozu 94, kromě Japonska fungují také v USA, Německu, Rusku, Číně, Indii a Mexiku.

Nejčastěji používané reaktory jsou reaktory tlakovodní (PWR, VVER) – těch je 264, mezi nimi i ty české v Dukovanech a Temelíně.

Ze schematických obrázků je zřejmý zásadní rozdíl mezi varným a tlakovodním reaktorem. Varný reaktor je jednookruhový – s kontaminovaným pracovním médiem (voda, pára). Tlakovodní reaktor je dvouokruhový, kde pracovní médium vně kontejnmentu není kontaminováno. I v tomto konstrukčním rozdílu obou typů reaktorů lze spatřovat část pravděpodobných potíží ve Fukušimě, s nutností odvádět do moře radioaktivní vodu.

Závěr

Žádná technologie v energetice není bez potenciálního nebezpečí. Tím spíše ne v jaderné energetice. Každá havárie je však především nutné poučení do budoucnosti. Poučení, aby pravděpodobnost možného rizika havárie byla ještě menší než dosud a eventuální následky havárie také. Při srovnávání havárií v Černobylu a ve Fukušimě můžeme konstatovat, že toto poučení funguje. ■

Podklady:

- [1] Strategická agenda energetiky, Technologická platforma udržitelná energetika
- [2] 11. energetický kongres Praha, prezentace předsedkyně SÚJB Ing. Dany Drábové, CSc.

Autor:

prof. Ing. František Hrdlicka, CSc., děkan Fakulty strojní ČVUT v Praze
E-mail:
frantisek.hrdlicka@fs.cvut.cz